

# Résolution d'équations différentielles à l'aide de réseaux de neurones

Matthieu Carreau, encadré par Stam Nicolis et Pascal Thibaudeau

Juillet 2022

## 1 Présentations de différentes approches pour la résolution d'une équation différentielle d'ordre 1

On cherche à tester nos méthodes sur l'équation différentielle suivante, pour  $x \in [0, 1]$  :

$$\begin{cases} \frac{d\Psi}{dx} + \cos(2\pi x) = 0 \\ \Psi(0) = A \end{cases} \quad (1)$$

Cette équation avec condition initiale admet une unique solution analytique :

$$\Psi(x) = A - \frac{1}{2\pi} \sin(2\pi x) \quad (2)$$

### 1.1 Recherche de solutions en série de Fourier

On cherche des solutions numériques approchées sous la forme de séries de Fourier tronquées avec  $M$  harmoniques :

$$\begin{cases} \tilde{\Psi}(x) = A + \mathcal{N}(x, P) \\ \mathcal{N}(x, P) = \sum_{m=1}^M A_m \sin(2\pi m x) \end{cases} \quad (3)$$

$P$  représente les coefficients  $(A_m)_{m \in \llbracket 1, M \rrbracket}$  qui sont les paramètres à ajuster. On cherche à obtenir la solution analytique, i.e  $\forall m \in \llbracket 1, M \rrbracket, A_m = -\frac{1}{2\pi} \delta_1^m$ .

On définit une fonction d'erreur pour ces solutions potentielles, en s'intéressant aux  $N$  points suivants :  $\forall i \in \llbracket 1, N \rrbracket, x_i = \frac{i}{N-1}$

$$E = \frac{1}{2} \sum_{i=1}^N \left( \sum_{m=1}^M 2\pi m A_m \cos(2\pi m x_i) + \cos(2\pi x_i) \right)^2 \quad (4)$$

On calcule alors la dérivée partielle de cette erreur par rapport à chaque paramètre  $A_l$  :

$$\frac{\partial E}{\partial A_l} = \sum_{i=1}^N \left( \sum_{m=1}^M 2\pi m A_m \cos(2\pi m x_i) + \cos(2\pi x_i) \right) 2\pi l \cos(2\pi l x_i) \quad (5)$$

Les deux méthodes suivantes ont pour objectif de trouver les coefficient  $(A_m)_{m \in \llbracket 1, M \rrbracket}$  qui minimisent  $E$ .

### 1.1.1 Première méthode : inversion d'un système linéaire

On cherche à résoudre le système linéaire donné par :  $\forall m \in \llbracket 1, M \rrbracket, \frac{\partial E}{\partial A_l} = 0$ , on définit pour cela les matrices suivantes :

$$\mathcal{M} = (r_{m,l})_{(m,l) \in \llbracket 1, M \rrbracket^2}, \vec{A} = \begin{pmatrix} A_1 \\ A_2 \\ \vdots \\ A_M \end{pmatrix}, \vec{b} = \begin{pmatrix} b_1 \\ b_2 \\ \vdots \\ b_M \end{pmatrix} \quad (6)$$

$$\forall (m, l) \in \llbracket 1, N \rrbracket^2, \begin{cases} r_{m,l} = 2\pi m l \sum_{i=1}^N \cos(2\pi m x_i) \cos(2\pi l x_i) \\ b_l = -l \sum_{i=1}^N \cos(2\pi x_i) \cos(2\pi l x_i) \end{cases} \quad (7)$$

On résoud le système en écrivant l'équation matricielle le représentant :

$$\mathcal{M} \vec{A} = \vec{b} \Leftrightarrow \vec{A} = \mathcal{M}^{-1} \vec{b} \quad (8)$$

(Attention pour certains paramètres comme  $(M = 5, N = 10)$ ,  $\mathcal{M}$  n'est pas inversible).

On initialise l'algorithme avec les paramètres suivants :  $(M = 10, N = 100)$   
On obtient les résultats suivants :

$A = [-1.59154943e - 01, 4.74338450e - 19, 1.08420217e - 19, 2.71050543e - 20, 2.74438675e - 19, 1.05032085e - 19, 9.82558219e - 20, 5.92923063e - 20, 5.42101086e - 20, 5.42101086e - 20]$

On constate comme attendu que le coefficient  $A_1$  est très proche de  $-\frac{1}{2\pi}$  (erreur relative de l'ordre de  $10^{-16}$ ), et que les autres coefficients ont une valeur absolue maximale de  $1.1510^{-17}$ . On peut donc valider notre modèle.

### 1.1.2 Seconde méthode : descente de gradient

On définit les paramètres suivants :

$$\alpha > 0, \vec{A}^{(0)} = \begin{pmatrix} A_1^{(0)} \\ A_2^{(0)} \\ \vdots \\ A_M^{(0)} \end{pmatrix}, \vec{g}^{(0)} = \begin{pmatrix} \frac{\partial E^{(0)}}{\partial A_1^{(0)}} \\ \frac{\partial E^{(0)}}{\partial A_2^{(0)}} \\ \vdots \\ \frac{\partial E^{(0)}}{\partial A_M^{(0)}} \end{pmatrix}, \quad (9)$$

Puis on calcule itérativement :

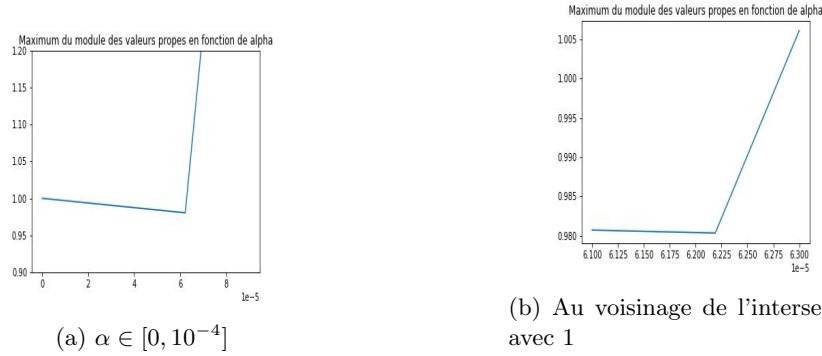


FIGURE 1 – Maximum des valeurs propres de  $\mathcal{R}_\alpha$  en fonction de  $\alpha$

$$\vec{A}^{(k+1)} = \vec{A}^{(k)} - \alpha \vec{g}^{(k)} \quad (10)$$

On cherche à trouver le coefficient  $\alpha$  optimal qui assure la convergence tout en maximisant la vitesse de convergence, c'est-à-dire le  $\alpha$  le plus élevé possible qui permet la convergence de la suite.

On exprime tout d'abord le gradient en fonction de la matrice  $\mathcal{M}$  et du vecteur  $\vec{b}$  définis précédemment qui sont indépendants de  $\vec{A}$  et de  $k$  :

$$\vec{g}^{(k)} = \mathcal{M}\vec{A}^{(k)} - \vec{b} \quad (11)$$

Ainsi, l'équation de récurrence (10) se réécrit comme une suite arithmético-géométrique de vecteurs :

$$\vec{A}^{(k+1)} = (\mathcal{I}_M - \alpha \mathcal{M})\vec{A}^{(k)} + \alpha \vec{b} \quad (12)$$

On en déduit que la suite converge si et seulement si le maximum du module des valeurs propres de la matrice  $\mathcal{R}_\alpha = \mathcal{I}_M - \alpha \mathcal{M}$  est strictement inférieur à 1. On trace donc ce maximum en fonction de  $\alpha$  en figure 1. On en déduit la valeur critique  $\alpha_c = 6.25 \cdot 10^{-5}$ .

On initialise l'algorithme avec les paramètres suivants : ( $M = 10, N = 100, V_0 = 1, \alpha = 10^{-5}$ ) On obtient au bout de 10000 itérations les résultats suivants :

$A = [-1.59154943e-01, 1.15066541e-17, 7.99406786e-18, 5.64963221e-18, 4.88181580e-18, 3.85811144e-18, 3.46024465e-18, 2.88560910e-18, 2.81846501e-18, 2.43172156e-18]$

On constate comme attendu que le coefficient  $A_1$  est très proche de  $-\frac{1}{2\pi}$  (erreur relative de l'ordre de  $10^{-15}$ ), et que les autres coefficients ont une valeur absolue maximale de  $1.1510^{-17}$ . On peut donc valider notre modèle.

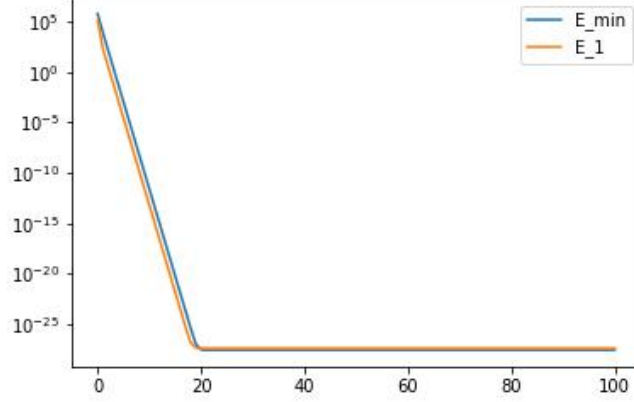


FIGURE 2 – Erreurs avec  $\alpha_{min}$  et  $\alpha_1$

## 1.2 Recherche de solutions à l'aide d'un réseau de neurones

On cherche à présent à utiliser un réseau de neurones pour approcher la solution de l'équation différentielle. On cherche désormais des solutions approchées sous la forme suivante :

$$\begin{cases} \tilde{\Psi}(x) = A + \mathcal{N}(x, P) \\ \mathcal{N}(x, P) = \sum_{j=1}^H v_j \sigma(w_j x + b_j) \end{cases} \quad (13)$$

$\mathcal{N}(x, P)$  correspond donc à la sortie d'un réseau de neurones dont l'architecture est présentée en figure 3, contenant une couche cachée intermédiaire, qui réalise en sortie une somme pondérée de sigmoïdes, la fonction utilisée est  $\forall x \in \mathbf{R}, \sigma(x) = \frac{1}{1+e^{-x}}$ . Les paramètres  $P$  à ajuster sont désormais les coefficients  $(w_j)_{j \in \llbracket 1, H \rrbracket}$ ,  $(b_j)_{j \in \llbracket 1, H \rrbracket}$  et  $(v_j)_{j \in \llbracket 1, H \rrbracket}$ .

On définit une nouvelle fonction d'erreur, calculée à partir des mêmes  $N$  points que précédemment :  $\forall i \in \llbracket 1, N \rrbracket, x_i = \frac{i}{N-1}$

$$E(P) = \sum_{i=1}^N \left( \frac{d\tilde{\Psi}}{dx}(x_i) + \cos(2\pi x) \right)^2 \quad (14)$$

On calcule ensuite les expressions analytiques des dérivées partielles de  $E(P)$  par rapport à chaque paramètre ajustable, puis on cherche à minimiser cette erreur à l'aide de l'algorithme de descente de gradients.

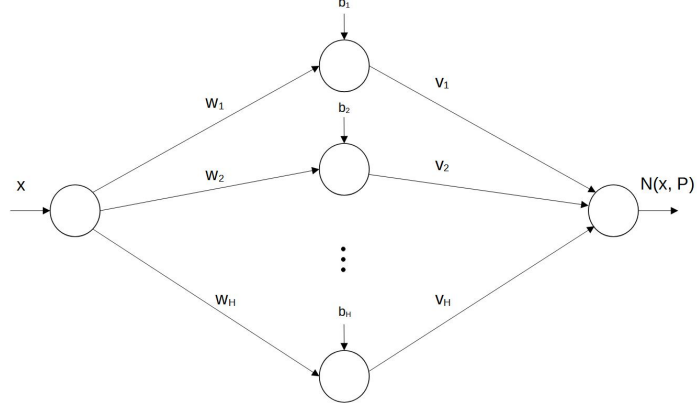


FIGURE 3 – Réseau de neurones

### 1.2.1 Résultats obtenus

On initialise l'algorithme avec les paramètres suivants : ( $H = 4, N = 20$ )  
On obtient une erreur de  $1,2 \cdot 10^{-2}$  et une estimation visible en figure 4. Cela permet de valider notre modèle sur l'étude à une dimension.

## 2 Etude du cas de deux équations d'ordre 1 couplées, représentant un mouvement de précession

On s'intéresse désormais au problème de la précession d'un moment magnétique dans un champ magnétique constant. On le modélise par les équations suivantes pour  $t \in [0, 1]$  :

$$\begin{cases} \frac{dv_x}{dt} = \omega v_y \\ \frac{dv_y}{dt} = -\omega v_x \end{cases} \quad \begin{cases} v_x(0) = V_0 \\ v_y(0) = 0 \end{cases} \quad (15)$$

Ce problème admet une unique solution analytique :

$$\begin{cases} v_x(t) = V_0 \cos(2\omega t) \\ v_y(t) = -V_0 \sin(2\omega t) \end{cases} \quad (16)$$

### 2.1 Recherche des solutions en séries de Fourier

On cherche des solutions numériques approchées sous la forme de séries de Fourier tronquées avec  $M$  harmoniques, en posant la forme suivante :

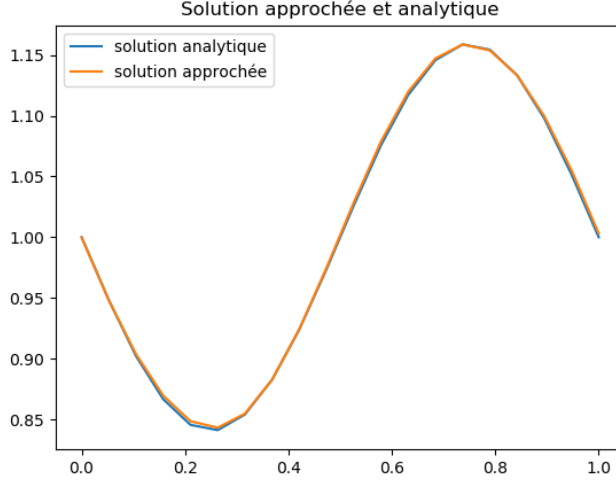


FIGURE 4 – estimation de la solution par un réseau de neurones

$$\begin{cases} \tilde{v}_x(t) = V_0 + \sum_{m=1}^M A_m(\cos(\omega mt) - 1) + B_m \sin(\omega mt) \\ \tilde{v}_y(t) = \sum_{m=1}^M -A_m \sin(\omega mt) + B_m(\cos(\omega mt) - 1) \end{cases} \quad (17)$$

Les coefficients  $(A_m)_{m \in \llbracket 1, M \rrbracket}$  et  $(B_m)_{m \in \llbracket 0, M \rrbracket}$  sont les paramètres à ajuster. On cherche à obtenir la solution analytique, i.e  $\forall m \in \llbracket 0, M \rrbracket, A_m = \delta_1^m$  et  $\forall m \in \llbracket 1, M \rrbracket, B_m = 0$ . On remarque que le coefficient  $A_0$  n'a aucune influence.

On définit une fonction d'erreur pour ces solutions potentielles, en s'intéressant aux  $N$  points suivants :  $\forall i \in \llbracket 1, N \rrbracket, t_i = \frac{i}{N-1}$  :

$$E(P) = \sum_{i=1}^N \left( \frac{d\tilde{v}_x}{dt}(t_i) - \omega \tilde{v}_y(t_i) \right)^2 + \left( \frac{d\tilde{v}_y}{dt}(t_i) + \omega \tilde{v}_x(t_i) \right)^2 \quad (18)$$

On utilise ensuite la méthode de descente de gradients définie précédemment, en calculant les dérivées partielles suivantes :  $(\frac{\partial E}{\partial A_l}, \frac{\partial E}{\partial B_l})_{l \in \llbracket 1, M \rrbracket}$

### 2.1.1 Résultats obtenus

On initialise l'algorithme avec les paramètres suivants :  $(M = 10, N = 100, V_0 = 1, \omega = 2\pi, \alpha = 10^{-6})$  On obtient au bout de 10000 itérations les résultats suivants :

$A = [1.00000255e + 00, -1.23919994e - 06, -2.20679520e - 07, -9.12537244e - 08, -4.93048945e - 08, -3.05670278e - 08, -2.06219718e - 08, -1.47337251e - 08, -1.09721848e - 08, -8.43076573e - 09],$   
 $B = [-6.59235880e - 07, 3.20274560e - 07, 5.70352161e - 08, 2.35847707e - 08, 1.27429827e - 08, 7.90013061e - 09, 5.32980412e - 09, 3.80797092e - 09, 2.83579070e - 09]$

$09, 2.17895410e - 09]$

On constate comme attendu que le coefficient  $A_0$  est très proche de 1 (erreur relative inférieure de  $2.5510^{-6}$ ), et que les autres coefficients ont une valeur absolue maximale de  $1.2410^{-6}$ . On peut donc valider notre modèle.